



Fakultät Informatik

Fehlerkorrektur mit Reed Solomon

Schriftlicher Bericht im Fach Aktuelle Entwicklungen im Computer
Design

vorgelegt von

Jonas Lang

Matrikelnummer 363 0314

© 2024

Dieses Werk einschließlich seiner Teile ist **urheberrechtlich geschützt**. Jede Verwertung außerhalb der engen Grenzen des Urheberrechtsgesetzes ist ohne Zustimmung des Autors unzulässig und strafbar. Das gilt insbesondere für Vervielfältigungen, Übersetzungen, Mikroverfilmungen sowie die Einspeicherung und Verarbeitung in elektronischen Systemen.

Inhaltsverzeichnis

1	Einleitung	1
1.1	Motivation	1
1.2	Zielsetzung der Arbeit	1
1.3	Aufbau der Arbeit	2
2	Entwicklung	3
3	Theoretische Grundlagen	5
3.1	Endliche Körper	5
4	Funktionsweise	6
4.1	Encodierung	6
4.2	Decodierung	7
4.3	Berlekamp-Welch Algorithmus	8
4.4	Hardware-Implementierung	8
5	Anwendungen	10
5.1	Satelliten- und Weltraumkommunikation	10
5.2	Broadcasting und digitale Fernsehtechnik	10
5.3	Speichergeräte und optische Datenträger	11
5.4	Datenübertragung und digitale Kommunikation	12
5.5	Zeidimensionale Barcodes	12
6	Fazit und Ausblick	13
6.1	Aktuelle Entwicklungen	13
6.2	Zukünftige Perspektiven	13
6.3	Fazit	14
A	Supplemental Information	15
	Abbildungsverzeichnis	16
	Tabellenverzeichnis	17
	List of Listings	18

Inhaltsverzeichnis

Literaturverzeichnis	19
Glossar	21

Kapitel 1

Einleitung

1.1 Motivation

In der heutigen digitalen Welt ist die Zuverlässigkeit und Integrität von Daten von zentraler Bedeutung. Täglich werden riesige Mengen an Informationen über verschiedene Kommunikationskanäle übertragen und auf unterschiedlichsten Medien gespeichert. Dabei ist es unvermeidlich, dass Daten durch Rauschen, physische Beschädigungen oder andere Störfaktoren verfälscht werden. Dies stellt eine ernsthafte Herausforderung dar, insbesondere in Bereichen wie Telekommunikation, Datenarchivierung und digitaler Medien, wo die Genauigkeit und Verfügbarkeit von Informationen entscheidend sind. Fehlerkorrekturverfahren sind daher unverzichtbare Werkzeuge, um die Qualität und Zuverlässigkeit der übermittelten oder gespeicherten Daten sicherzustellen.

Sie reichern die zu speichernden oder zu übertragenden Daten durch den Encodierungsprozess mit Redundanz an, also zusätzliche Informationen, die zur Fehlererkennung und -korrektur dienen. Beim Decodierungsprozess wird anschließend überprüft, ob Fehler aufgetreten sind und ob diese korrigiert werden können, bevor die ursprünglichen Daten wieder verwendet werden können.

Eine besonders effektive Methode zur Fehlerkorrektur sind die Reed-Solomon-Codes. Diese wurden 1960 von den Mathematikern Irving S. Reed und Gustave Solomon entwickelt und haben sich seither als effektive Methode zur Fehlerkorrektur etabliert. Reed-Solomon-Codes zeichnen sich durch ihre Fähigkeit aus, eine beträchtliche Anzahl von Fehlern zu erkennen und zu korrigieren, wodurch sie die Zuverlässigkeit von Datenübertragungen und -speicherungen erheblich verbessern.

1.2 Zielsetzung der Arbeit

Ziel dieser Arbeit ist es, ein Verständnis der Reed-Solomon-Codes zu vermitteln. Obwohl diese Codes in vielen alltäglichen Technologien weit verbreitet sind, bleibt die zugrundeliegende Ma-

thematik und konkrete Implementierung oft ein komplexes Thema. Diese Arbeit soll die theoretischen Grundlagen und Mechanismen hinter den Reed-Solomon-Codes systematisch darlegen und ihre praktischen Anwendungen beleuchten. Durch die Untersuchung der mathematischen Prinzipien und der praktischen Implementierungen soll ein tieferes Verständnis dieser wichtigen Technologie gefördert werden.

1.3 Aufbau der Arbeit

Nach dieser Einleitung folgt im zweiten Kapitel eine Betrachtung der Entwicklung der Reed-Solomon-Codes, die die wesentlichen Meilensteine und Durchbrüche sowie die Einordnung in das Gebiet der Fehlerkorrektur-Codes darstellt. Kapitel drei behandelt die theoretischen Grundlagen und die Funktionsweise der Reed-Solomon-Codes, wobei die mathematischen Strukturen, Codierungs- und Decodierungsprozesse sowie spezifische Algorithmen wie der Berlekamp-Welch-Algorithmus beschrieben werden. Das vierte Kapitel vergleicht die Reed-Solomon-Codes mit anderen gängigen Fehlerkorrektur-Codes und beleuchtet ihre vielfältigen Anwendungsgebiete. Im fünften Kapitel werden die wichtigsten Erkenntnisse zusammengefasst und ein Ausblick auf zukünftige Entwicklungen gegeben.

Kapitel 2

Entwicklung

Die Reed-Solomon-Codes wurden 1960 von den amerikanischen Mathematikern Irving S. Reed und Gustave Solomon am Lincoln Laboratory des MIT entwickelt. Sie veröffentlichten das Paper „Polynomial codes over certain finite fields“, indem das neu entworfene Fehlerkorrekturverfahren beschrieben wird. Dabei handelt es sich um Vorwärtskorrektur-Verfahren, welches eigenständig Fehler erkennen und beseitigen kann [1]. Durch diese Veröffentlichung wurde eine neue Klasse von Fehlerkorrektur-Codes (ECC) geschaffen. Sie gehört zu der Gruppe der linearen, zyklischen Block-Codes, d. h., zu codierende Daten werden in Wörter der Länge n geteilt und einzeln weiterverarbeitet [2]. Ein Ausschnitt der Code-Hierarchie ist in Abbildung 2.1 dargestellt.

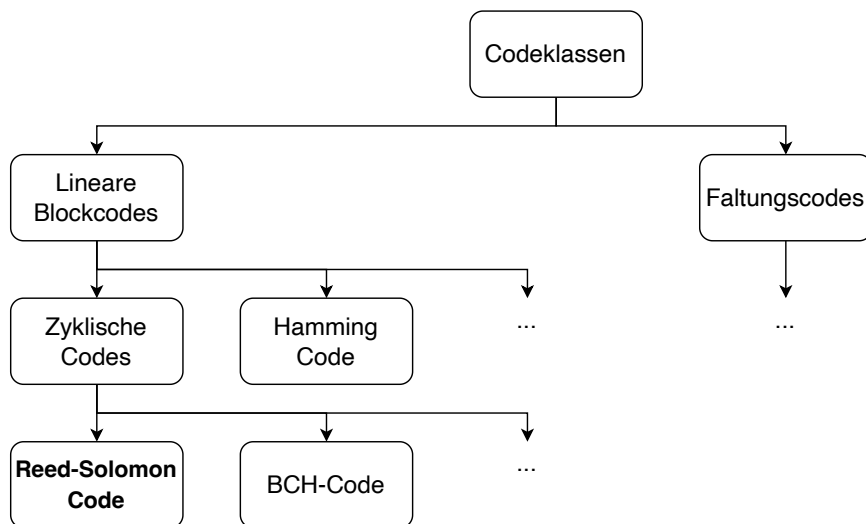


Abbildung 2.1: Ausschnitt der Hierarchie von ECC

Allerdings war für das Reed-Solomon Verfahren anfangs noch kein effizienter Decodieralgorithmus bekannt, weshalb daran weiter geforscht und weiterentwickelt wurde. 1963 stellte J. J. Stone ein Reed-Solomon-Code vor, der auf dem Schema der auf dem Bose-Chaudhuri-Hocquenghem

(BCH) Verfahren basiert [3]. Dieser Ansatz wird zwar auch als Reed-Solomon-Code bezeichnet, es handelt sich dabei aber um ein weiteres Verfahren, welches separat vom ursprünglichen Ansatz weiterentwickelt wurde. Nachdem für die BCH-Codes 1969 ein effizienter Algorithmus, der so genannte Berlekamp-Massey Algorithmus, gefunden wurde, war auch der Einsatz der auf BCH basierende Reed-Solomon-Code in der Praxis verwendbar [4, 5].

Dieses Verfahrens fand zum ersten Mal Anwendung im Jahr 1977 beim Voyager Programm der NASA [1]. Dadurch konnte eine robustere Kommunikation zwischen dem Raumfahrzeug und dem Raumfahrtkontrollzentrum bei einer großen Entfernung zur Erde gewährleistet werden [6]. Das erste kommerzielle, an den Endkunden gerichtete Produkt, in dem das Reed-Solomon Verfahren anwendung fand, war 1982 die Compact Disc (CD).

Im Jahr 1986 ermöglichte der Berlekamp-Welch-Algorithmus eine entscheidende Weiterentwicklung. Entwickelt von Elwyn Berlekamp und Lloyd Welch, verbesserte dieser Algorithmus die Effizienz des ursprünglichen Reed-Solomon-Schemas erheblich. Diese Weiterentwicklung förderte die Verbreitung der Reed-Solomon-Codes in verschiedenen Anwendungsbereichen. Eine detaillierte beschreibung dieser findet sich in Kapitel 5.

Die kontinuierliche Weiterentwicklung und Anwendung der Reed-Solomon-Codes in verschiedenen Bereichen zeigt die Bedeutung und Vielseitigkeit dieser Fehlerkorrekturverfahren. Um ein tieferes Verständnis der Funktionsweise und der mathematischen Prinzipien hinter diesen Codes zu erlangen, ist es unerlässlich, die theoretischen Grundlagen zu betrachten. Im nächsten Kapitel werden daher die mathematischen Konzepte und Algorithmen erläutert, die den Reed-Solomon-Codes zugrunde liegen.

Kapitel 3

Theoretische Grundlagen

Zunächst wird die algebraische Struktur endlicher Körper, auch Galois-Felder genannt, erläutert, welche die Basis für die Encodierung und Decodierung vieler Fehlerkorrekturverfahren bildet.

3.1 Endliche Körper

Endliche Körper sind algebraische Strukturen mit einer endlichen Anzahl von Elementen, die sowohl Addition als auch Multiplikation unterstützen. Ein endlicher Körper $GF(q)$ besteht aus q Elementen, wobei q eine Potenz einer Primzahl p ist.

$$q = p^m \quad (p \in \mathbb{P}, m \in \mathbb{N})$$

Die Konstruktion eines endlichen Körpers beginnt mit der Auswahl eines irreduziblen Polynoms $p(x)$ über einem Grundkörper $GF(p)$. Dieses irreduzible Polynom hat die Eigenschaft, dass es nicht in Produkte niedrigergradiger Polynome zerlegt werden kann. Die Elemente des endlichen Körpers $GF(p^m)$ sind die Restklassen der Polynome über $GF(p) \bmod p(x)$.

Im endlichen Körper $GF(2^m)$ beispielsweise sind die Elemente Polynome vom Grad $m - 1$ mit Koeffizienten aus $0, 1$. Die Addition erfolgt koeffizientenweise modulo 2, während die Multiplikation durch die Multiplikation der Polynome und anschließendes Reduzieren modulo $p(x)$ bestimmt wird.

Ein entscheidendes Merkmal endlicher Körper ist das Vorhandensein eines multiplikativen Inversen für jedes nicht-null Element. Dies bedeutet, dass für jedes Element a in $GF(q)$ ein Element b existiert, sodass $a \cdot b = 1$.

Diese Eigenschaft ist wesentlich für die Implementierung der Fehlerkorrekturmechanismen der Reed-Solomon-Codes, da die Berechnungen auf endlichen Systemen durchgeführt werden. Die Struktur dieser Felder ermöglicht die effiziente Durchführung der mathematischen Operationen, die zur Erkennung und Korrektur von Fehlern in den Daten erforderlich sind.

Kapitel 4

Funktionsweise

Beim Reed-Solomon Verfahren werden die zu codierenden Nachrichten in Symbole m_i der Länge 8 Bit zusammengefasst. Die zu übermittelnden oder zu speichernden Daten werden also nicht direkt als Bitstrom verarbeitet, obwohl sie als Bits vorliegen. Eine binäre Nachricht wird in 8 Bit-lange Teile aufgesplittet und dann jeweils als ein Symbol interpretiert. Die Anzahl dieser Symbole ist dann die Nachrichtenlänge k . Ein Nachricht m hat also die Form $[m_0 m_1 m_2 \dots m_{k-1}]$.

Zum Beispiel wird eine Nachricht mit dem Bitmuster 0010100110100101 in 00101001 10100101 zerlegt und einzeln in Symbole übersetzt (hier Decimaldarstellung) 41 165. Hier wäre die Nachrichtenlänge 2.

Nach Hinzufügen der Redundanzsymbole durch Encodieren entsteht ein Block der Länge n . Die Spezifikation der Ausprägung des eingesetzten Reed-Solomon-Codes wird typischerweise als $RS(n, k)$ dargestellt. Die Berechnungen erfolgen dabei in dem endlichen Körper $GF(q)$, wobei $q \geq n > k$ eine Primzahlpotenz ist.

Diese allgemeine Prinzipie gelten für alle Reed-Solomon Varianten. Die folgenden Ausführungen zum Encoding in Abschnitt 4.1 und Decoding in Abschnitt 4.2 beziehen sich auf den ursprünglichen Ansatz von 1960.

4.1 Encodierung

Die Codierung basiert auf der Multiplikation und Division von Polynomen. Aus einer Nachricht $m = [m_0 m_1 m_2 \dots m_{k-1}]$ wird das Polynom

$$p(x) = \sum_{i=0}^{k-1} m_i x^i = m_0 + m_1 x + m_2 x^2 + \dots + m_{k-1} x^{k-1}$$

mit den Nachrichtensymbolen m_i als Koeffizienten der Summanden. Dieses Polynom wird auch als Nachrichtenpolynom bezeichnet.

Das zu bildende Codewort $c = [c_0 c_1 c_2 \dots c_{n-1}]$ hat die Länge $n = k + 2t$, also Länge der ursprünglichen Nachricht und die Anzahl der redundanten Symbole. Dadurch können $2t$ Fehler

erkannt und t Fehler korrigiert werden. Das Codewort entsteht durch das Einsetzen von n festen Werten in das Nachrichtenpolynom.

$$c_i = p(q_i)$$

Diese Werte $[q_0 q_1 q_2 \dots q_{n-1}]$ sind die primitiven Elemente des endlichen Körpers über q . Dieses Codewort wird dann gespeichert oder übertragen und kann bis zum Decodieren beschädigt werden.

4.2 Decodierung

Aus dem Codewort $c = [c_0 c_1 c_2 \dots c_{n-1}]$ muss zum Decodieren die Nachricht wiederhergestellt werden. Dazu muss die Encodierung rückgängig gemacht werden, indem für jedes Symbol die Encodierungsgleichung aufgestellt wird mit dem Unterschied dass nun $p(x)$ unbekannt ist.

$$\begin{aligned} c_0 &= p(q_0) = m_0 \\ c_1 &= p(q_1) = m_0 + m_1 q_1 + m_2 (q_1)^2 + \dots + m_{k-1} (q_1)^{k-1} \\ c_2 &= p(q_2) = m_0 + m_1 q_2 + m_2 (q_2)^2 + \dots + m_{k-1} (q_2)^{k-1} \\ &\dots \\ c_{n-1} &= p(q_{n-1}) = m_0 + m_1 q_{n-1} + m_2 (q_{n-1})^2 + \dots + m_{k-1} (q_{n-1})^{k-1} \end{aligned}$$

Dadurch entsteht ein Gleichungssystem mit n Gleichungen und k Unbekannten, den Koeffizienten des Polynoms, welche wiederum die Symbole der Nachricht m_i sind. Da $n > k$, reichen k dieser Gleichungen aus, um das Gleichungssystem eindeutig zu lösen und so die Nachricht zu erhalten.

Allerdings funktioniert das so nur in der idealen Welt. In der Realität ist das Codewort möglicherweise fehlerbehaftet. Einige Symbole von c können also verändert worden sein, sodass ein \hat{c} entsteht. Wie viele Fehler und an welchen Stellen diese aufgetreten sind lässt sich nicht a priori nicht sagen. So reicht es also nicht aus nur k Gleichungen zum Lösen des Gleichungssystems zu verwenden, da in diesen k Gleichungen ja bis zu $2t$ Fehler enthalten sein können. Bei mehr als $2t$ Fehlern würde ein falsches Ergebnis das Mehrheitsvoting gewinnen, wodurch die Fehlerkorrektur fehlschlägt. Trotzdem handelt es sich bei Reed-Solomon um ein Verfahren, das maximal viele Fehler erkennen bzw. korrigieren kann. Der Hamming-Abstand, eine Kenngröße für die Effektivität von Codierungsverfahren, ist bei Reed-Solomon $n - k + 1$, welches den optimalen Trade-Off zwischen Länge der hinzugefügten Redundanz und der Fähigkeit Fehler zu erkennen und zu korrigieren (Singleton-Schranke). Ein ausführlicher Beweis dazu findet sich in Anhang ??.

Um eine korrekte Lösung des Gleichungssystems zu finden, müssen alle $\binom{n}{k}$ möglichen Gleichungssysteme gelöst werden und dann mit Mehrheitsentscheidung das Ergebnis mit den meis-

ten Votes ausgewählt werden. Wenn man beispielsweise eine typische konfiguration $RS(255, 223)$ annimmt, folgen daraus $\binom{255}{223} \approx 5 \cdot 10^{40}$ Gleichungssysteme, die gelöst werden müssen. Bei einer Lösungsdauer von einer Millisekunde pro Gleichungssystem, wären das immer noch eine Gesamtdauer von ca. $3,17 \cdot 10^{29}$ Jahren. So kann man leicht nachvollziehen warum dieses Verfahren in dieser Form nicht effizient lösbar ist.

4.3 Berlekamp-Welch Algorithmus

Der Berlekamp-Welch Algorithmus bietet eine Lösung dieses Problems. Definiere ein Fehlerlokator-Polynom $e(x) = (x - e_1)(x - e_2) \cdots (x - e_t)$ mit $\deg(e) = t$ und $q(x) = p(x)e(x)$ mit $\deg(q) = \deg(p) + \deg(e) = k - 1 + t$. Umgeformt sind die zu bestimmenden Polynome

$$\begin{aligned} e(x) &= 1x^t + b_{t-1}x^{t-1} + \cdots + b_1x + b_0 \\ q(x) &= a_{k+t-1}x^{k+t-1} + a_{k+t-2}x^{k+t-2} + \cdots + a_1x + a_0, \end{aligned}$$

welche zusammen $k + 2t$ unbekannte Koeffizienten haben. Die $k + 2t$ Symbole des Codeworts liefern also genau genug Informationen um diese Koeffizienten eindeutig zu bestimmen, indem man $k + 2t$ Gleichungen der Form $q(i) = e(i)$ aufstellt, wobei $1 \leq i \leq k + 2t$. Mit diesen gegebenen Koeffizienten sind auch $q(x)$ und $e(x)$ bekannt und es kann durch Polynomdivision wieder das ursprüngliche Polynom $p(x)$ berechnet werden, um damit die Nachricht wie beim Encoding zu bestimmen.

4.4 Hardware-Implementierung

Um dieses Fehlerkorrektur Verfahren in möglichst vielen Szenarien anwenden zu können, ist es wichtig, dass eine Verwendung fast ohne Beeinträchtigung möglich ist. Dafür wird häufig auf eine spezielle Implementierung in Hardware gesetzt, um den Einsatz auch auf kleinen Geräten wie Mikrokontrollern zu ermöglichen. Da viele Algorithmen des Reed-Solomon-Codes auf der Polynomdivision basieren, gibt es dafür dedizierte Hardwarekomponenten. Eine solche Implementierung zur Polynomdivision, wie in Abbildung 4.1 abgebildet, wird im Folgenden näher beschrieben.

Die Schaltung arbeitet mit Addierern a_i und Multiplizierern g_i und ist rückgekoppelt, das heißt die Berechnungen basieren auf dem zuvor durchgeführten Berechnungsschritt [5]. Am Eingang $p(x)$ werden jeweils die Koeffizienten des Dividenden angelegt, am Ausgang $q(x)$ kommen die Koeffizienten des Ergebnisses an, jeweils die Koeffizienten mit dem höchsten Exponenten zu erst. Der Divisor ist durch die Multiplizierer dargestellt. Bei g_0 handelt es sich um den Koeffizienten von x^0 . Dabei werden die Reste eines Divisionsschrittes in den Registern r_i und sequenziell in

Grafik
überarbei-
ten

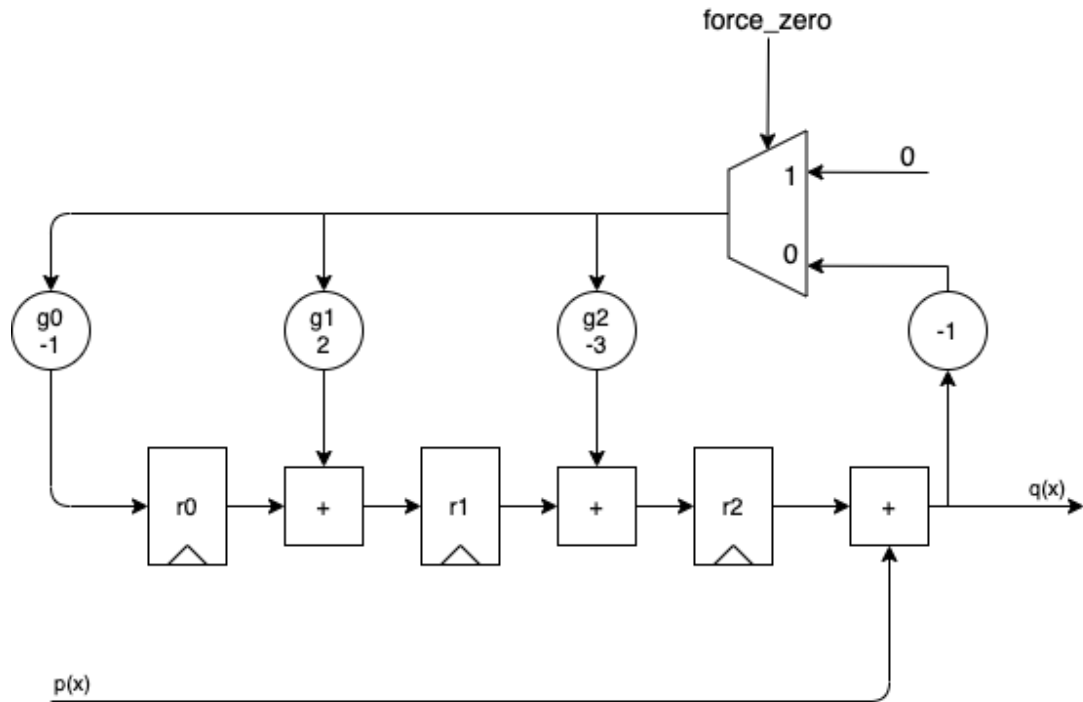


Abbildung 4.1: Schaltung zur Polynomdivision

den folgenden Iterationen weiterverwendet, wie man es auch mit Stift und Papier durchführen würde.

Mit Hilfe dieser oder ähnlicher Schaltungen und dem in Abschnitt 4.3 genannten Algorithmus war es möglich in den verschiedenen Einsatzbereichen Reed-Solomon zu verwenden.

Kapitel 5

Anwendungen

Reed-Solomon-Codes haben sich als äußerst vielseitig und effektiv in einer Vielzahl von Anwendungen erwiesen, insbesondere in Bereichen, die eine hohe Zuverlässigkeit und Robustheit bei der Datenübertragung und -speicherung erfordern. Im Folgenden werden einige der wichtigsten Anwendungsgebiete dieser Fehlerkorrekturverfahren beschrieben.

5.1 Satelliten- und Weltraumkommunikation

Eine der frühesten Anwendungen der Reed-Solomon-Codes war im Bereich der Satelliten- und Weltraumkommunikation. Ein bemerkenswertes Beispiel ist das Voyager-Programm der NASA. Seit 1977 werden Reed-Solomon-Codes verwendet, um die Kommunikation zwischen den Voyager-Raumfahrzeugen und der Erde zu sichern. Andere Projekte mit Reed-Solomon im Einsatz sind zum Beispiel der Mars Pathfinder und die Raumsonde Galileo [1].

Die enorme Entfernung der Raumfahrzeuge von der Erde stellt besondere Herausforderungen an die Datenintegrität. Reed-Solomon-Codes ermöglichen die Korrektur von Übertragungsfehlern, die durch kosmische Strahlung und andere Störeinflüsse verursacht werden, und tragen so zur erfolgreichen Übermittlung von wissenschaftlichen Daten über große Distanzen bei [6].

Umsetzungsparameter:

Code-Wort-Länge: 255 Symbole Daten-Symbole: 223 Redundanz-Symbole: 32

5.2 Broadcasting und digitale Fernsehtechnik

Im Bereich des Broadcasting, insbesondere bei der digitalen Fernsehtechnik, spielen Reed-Solomon-Codes eine entscheidende Rolle. Sie werden verwendet, um die Qualität und Zuverlässigkeit von digitalen TV-Signalen zu verbessern. Durch die Implementierung von Reed-Solomon-Codes können Übertragungsfehler, die durch atmosphärische Störungen oder andere Übertragungsprobleme entstehen, effektiv korrigiert werden, was zu einer stabileren und hochwertigeren Signalübertragung führt. Genutzt wird das Reed-Solomon Verfahren beispielsweise von dem amerikanischen

Standard ATSC und dem europäischen Pendant DVB (Digital Video Broadcasting) [7]. DVB beinhaltet verschiedene Standards, welche mittlerweile andere Verfahren, wie zum Beispiel BCH-Codes verwenden. Beispielhaft für ein auf Reed-Solomon basiertes Protokoll wäre DVB-H [8].

Umsetzungsparameter DVB-H:

Code-Wort-Länge: 255 Symbole Daten-Symbole: 191 Redundanz-Symbole: 64

5.3 Speichergeräte und optische Datenträger

Reed-Solomon-Codes spielen eine wesentliche Rolle bei der Sicherstellung der Datenintegrität beim Speichern von Daten. Bei optischen Datenträgern, die seit der Einführung der Compact Disc (CD) im Jahr 1982 weit verbreitet sind, werden Reed-Solomon-Codes zur Fehlerkorrektur bei der Speicherung und Wiedergabe von digitalen Audio- und Videodaten verwendet. Dazu zählen neben den CD auch die DVD und die Blu-Ray-Disc. Diese Codes können Fehler erkennen und korrigieren, die durch Kratzer, Staub oder andere physische Beschädigungen an den Discs verursacht werden [9].

In RAID-Systemen (Redundant Array of Independent Disks) ermöglichen sie die Korrektur von Fehlern, wobei ein Ausfall eines physischen Laufwerks nicht zum Verlust der darauf gespeicherten Daten führt. Diese bieten verschiedene Modi der redundanten Datenspeicherung. Eine davon ist RAID6, welches auf Reed-Solomon-Codes basiert [10].

Umsetzungsparameter für CDs:

Code-Wort-Länge: 32 Symbole Daten-Symbole: 28 Redundanz-Symbole: 4

Umsetzungsparameter für DVD und Blu-Ray:

Doppeltes En- bzw. Decoding

Innerer-Code: Code-Wort-Länge: 182 Symbole Daten-Symbole: 172 Redundanz-Symbole: 10

Äußerer Code: Code-Wort-Länge: 208 Symbole Daten-Symbole: 192 Redundanz-Symbole: 16

Umsetzungsparameter für RAID6-Systeme:

Code-Wort-Länge: Abhängig von der Konfiguration Typische Redundanz: 3 Datenlaufwerke und 2 Redundanzlaufwerke

5.4 Datenübertragung und digitale Kommunikation

Reed-Solomon-Codes finden auch breite Anwendung in der digitalen Kommunikation, einschließlich der Datenübertragung über das Internet und in Mobilfunknetzen. Sie werden eingesetzt, um die Integrität von Datenpaketen zu gewährleisten, die über potenziell fehleranfällige Kanäle übertragen werden. Einsetzende Standards sind z.B. WiMAX und DSL. Allerdings ist die genaue Umsetzung dieser Protokolle nicht öffentlich [11].

5.5 Zeidimensionale Barcodes

Reed-Solomon-Codes sind auch in der Optoelektronik weit verbreitet. Beispiele hierfür sind MaxiCode, Datamatrix, AztecCode und QR-Code. Diese Codes nutzen die Fehlerkorrekturfähigkeiten von Reed-Solomon, um sicherzustellen, dass die gespeicherten Informationen auch dann korrekt ausgelesen werden können, wenn Teile des Codes beschädigt oder verdeckt sind. Dies ist besonders wichtig in Anwendungen, bei denen die Zuverlässigkeit der Datenlesung entscheidend ist, wie z.B. in der Logistik und im Einzelhandel. Bei QR-Codes gibt es verschiedenen Varianten von „Low“ bis „High“, welche unterschiedlich viel Fehlertoleranz besitzen [12].

Umsetzungsparameter für QR-Codes:

Verschiedene Fehlerkorrekturstufen:

L (7% der Daten kann korrigiert werden), M (15%), Q (25%), H (30%)

Umsetzungsparameter für QR-Codes Stufe Low:

Code-Wort-Länge: 26 Symbole Daten-Symbole: 19 Redundanz-Symbole: 7

Kapitel 6

Fazit und Ausblick

6.1 Aktuelle Entwicklungen

Reed-Solomon-Codes bleiben auch heute eine relevante Technologie in der Fehlerkorrektur und -detektion, obwohl sie in den letzten Jahrzehnten aus Kostengründen durch neue Methoden ergänzt und teilweise ersetzt wurden.

Ein weiteres bedeutendes Feld ist die Integration von Reed-Solomon-Codes in moderne Kommunikations- und Speichertechnologien. Insbesondere im Bereich der drahtlosen Kommunikation und der Netzwerkcodierung werden Reed-Solomon-Codes in Kombination mit anderen Fehlerkorrekturmethode eingesetzt, um eine höhere Zuverlässigkeit und Effizienz zu gewährleisten.

6.2 Zukünftige Perspektiven

In der Zukunft könnten Reed-Solomon-Codes weiterhin eine wichtige Rolle in der Datenübertragung und -speicherung spielen, insbesondere in Kombination mit anderen Technologien. Die Entwicklungen im Bereich der Quantenkommunikation und Quantencomputing bieten neue Möglichkeiten, in denen klassische Fehlerkorrekturverfahren wie Reed-Solomon-Codes integriert werden könnten, um hybride Systeme zu schaffen, die sowohl klassische als auch Quanteninformationen verarbeiten [13].

Darüber hinaus wird die steigende Nachfrage nach robusten und zuverlässigen Speichersystemen in Bereichen wie Cloud-Computing und Big Data voraussichtlich die Weiterentwicklung und Anwendung von Reed-Solomon-Codes beeinflussen. Die zunehmende Komplexität und Größe von Datensätzen erfordert fortschrittliche Fehlerkorrekturmechanismen, um die Integrität und Verfügbarkeit von Daten zu gewährleisten [14].

6.3 Fazit

Reed-Solomon-Codes haben sich seit ihrer Einführung im Jahr 1960 als eine der robustesten und effektivsten Methoden zur Fehlerkorrektur und -detektion etabliert. Ihre Anwendung reicht von der Weltraumkommunikation über optische Datenträger bis hin zu modernen Speicher- und Kommunikationssystemen. Trotz des Fortschritts in der Technologie und der Entwicklung neuer Fehlerkorrekturverfahren bleiben Reed-Solomon-Codes aufgrund ihrer Zuverlässigkeit ein unverzichtbares Werkzeug in vielen Anwendungsbereichen.

Die kontinuierliche Forschung und Entwicklung in diesem Bereich verspricht, die Einsatzmöglichkeiten von Reed-Solomon-Codes weiter zu erweitern und ihre Leistungsfähigkeit zu steigern [15, 16]. In einer zunehmend digitalisierten Welt, in der die Zuverlässigkeit und Integrität von Daten von größter Bedeutung sind, werden Reed-Solomon-Codes auch in Zukunft eine zentrale Rolle spielen.

Anhang A

Supplemental Information

Abbildungsverzeichnis

2.1 Ausschnitt der Hierarchie von ECC	3
4.1 Schaltung zur Polynomdivision	9

Tabellenverzeichnis

List of Listings

Literaturverzeichnis

- [1] S. B. Wicker, Ed., *Reed Solomon Codes and Their Applications*. Piscataway, NJ: IEEE Press, 1994.
- [2] B. Friedrichs, *Kanalcodierung*. Berlin, Heidelberg: Springer, 1996.
- [3] W. W. Peterson and E. J. Weldon, *Error-Correcting Codes*. MIT Press, 1972.
- [4] E. Berlekamp, “Nonbinary BCH decoding (Abstr.),” *IEEE Transactions on Information Theory*, vol. 14, no. 2, pp. 242–242, Mar. 1968.
- [5] J. Massey, “Shift-register synthesis and BCH decoding,” *IEEE Transactions on Information Theory*, vol. 15, no. 1, pp. 122–127, Jan. 1969.
- [6] R. Ludwig and J. Taylor, “Voyager Telecommunications,” Mar. 2002.
- [7] T. Iliev, I. Lokshina, D. Radev, and G. Hristov, “Analysis and evaluation of Reed-Solomon codes in Digital Video Broadcasting systems,” in *2008 Wireless Telecommunications Symposium*, Apr. 2008, pp. 92–96.
- [8] “DVB-H,” *Wikipedia*, Jan. 2024.
- [9] H. Chang and C. Shung, “A Reed-Solomon Product-Code (RS-PC) decoder for DVD applications,” in *1998 IEEE International Solid-State Circuits Conference. Digest of Technical Papers, ISSCC. First Edition (Cat. No.98CH36156)*, Feb. 1998, pp. 390–391.
- [10] “RAID 6: Storage technology to minimize data loss,” <https://www.ionos.com/digitalguide/server/security/raid-6/>, Aug. 2021.
- [11] W. C. Vermillion, *End-to-End DSL Architectures*. Indianapolis, Ind: Cisco Press, 2003.
- [12] “QR code,” *Wikipedia*, May 2024.
- [13] M. Grassl, W. Geiselmann, and T. Beth, “Quantum Reed-Solomon Codes,” 1999, vol. 1719, pp. 231–244.
- [14] M. Sathiamoorthy, M. Asteris, D. Papailiopoulos, A. G. Dimakis, R. Vadali, S. Chen, and D. Borthakur, “XORing elephants: Novel erasure codes for big data,” *Proceedings of the VLDB Endowment*, vol. 6, no. 5, pp. 325–336, Mar. 2013.

- [15] R. Con, A. Shpilka, and I. Tamo, “Optimal Two-Dimensional Reed–Solomon Codes Correcting Insertions and Deletions,” *IEEE Transactions on Information Theory*, vol. 70, no. 7, pp. 5012–5016, Jul. 2024.
- [16] C. Sippel, C. Ott, S. Puchinger, and M. Bossert, “Reed–Solomon Codes over Fields of Characteristic Zero,” in *2019 IEEE International Symposium on Information Theory (ISIT)*, Jul. 2019, pp. 1537–1541.

Glossar

BCH Bose-Chaudhuri-Hocquenghem. i, 3, 4, 11

CD Compact Disc. i, 4, 11

ECC Fehlerkorrektur-Code. i, 3, 16